

TC: inmersión y encaje Euclidianos de $\mathbb{R}P^n$

" TC está motivada por consideraciones en robótica, pero captura información adicional !!! "

En la categoría de variedades y funciones suaves $f: M^m \rightarrow N^n$

$$\text{— inmersión} = T_M \xrightarrow{df} T_N$$

— encaje = inmersión + encaje topológico.

$$\text{In}(M) = \min \left\{ n : \exists \text{ inmersión } M \hookrightarrow \mathbb{R}^n \right\} = ??$$
$$\text{En}(M) = \text{— encaje —}$$

(“complejidad de M ”)

Ejemplos

$$\text{In}(S^m) = \text{En}(S^m) = m+1$$

$$\text{In}(P^2) = 3 \quad \text{--- superficie de Boy}$$

$$\text{En}(P^2) = 4$$

$$P^m = S^m / \pm \quad ??$$

Teorema 1 (Farber - Tabachnikov - Yuzvinsky, 2003)

$$\text{TC}(P^m) = \text{In}(P^m) \quad \text{para } m \neq 1, 3, 7$$

(P^1, P^3, P^7 son paralelizables con $\text{TC} = \text{dim}$)

Teorema 2 (G-Landweber, 2009 ; Dominguez, 2012)

$$\text{TC}^S(P^m) = \text{En}(P^m) \quad \text{para } m \neq 6, 7, 11, 12, 14, 15$$

PARTE 1: Ingrediente 1.

Def dimension geométrica de un haz vectorial $\xi \rightarrow X$

$$dg(\xi) = \min \left\{ k : \exists \alpha^{(k)} \rightarrow X \text{ con } \xi \underset{\text{est.}}{\cong} \alpha \right\}$$

Ejemplo: El haz normal ν_M de M^m tiene $dg(\nu_M) \leq k$
si $M^m \xrightarrow{\quad} \mathbb{R}^{m+k}$

Teorema (Hirsch 1959)

$$M^m \xrightarrow{\quad} \mathbb{R}^{m+k} \iff dg(\nu_M) \leq k$$

Ingrediente 2

Teorema (Adem-Gitter-James 1972)

$$P^m \xrightarrow{\rho} \mathbb{R}^n \iff \exists \text{ axial } P^m \times P^m \rightarrow P^n$$

si $n > m$

Bosquejo (para la ida) :

$$P^m \xrightarrow{\rho} \mathbb{R}^n \Rightarrow (\Gamma_{P^m} \oplus \mathcal{V} = n) \oplus 1$$

$$\Rightarrow (m+1) \sum_m \oplus \mathcal{V} = n+1 \Rightarrow$$

$$P^m \times P^m = P\left(\sum_{\frac{1}{2}}^m \times \mathbb{R}^{m+1}\right) = P\left((m+1) \sum_m\right) \hookrightarrow P(n+1) = P^m \times P^m \xrightarrow{\pi_2} P^n$$

es axial en el factor lineal y trivial en la diagonal

(Para el regreso) :

$$\begin{array}{ccc}
 S^m \times_{\mathbb{Z}/2} S^m & \xrightarrow{\cong_{\mathbb{Z}/2}} & S^h \\
 \downarrow & & \downarrow \\
 P^m \times P^m & \xrightarrow{\text{axial}} & P^n
 \end{array}
 \quad \rightsquigarrow \quad
 \begin{array}{ccc}
 S^m \times_{\mathbb{Z}/2} \mathbb{R}^{m+1} & \longrightarrow & P^m \times \mathbb{R}^{m+1} \\
 \cong & \cong & \parallel \\
 \{+ \mathbb{Z}_{p^m}\} & \hookrightarrow & h+1
 \end{array}$$

"1/2-skew"

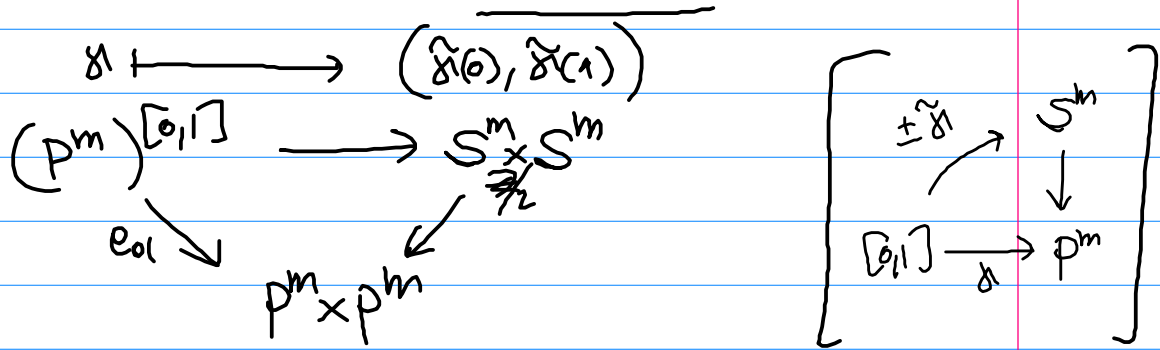
- Los tres casos especiales $m=1,3,7$ tienen $P^m \times P^m \rightarrow P^m$,
 pero $P^m \not\rightarrow \mathbb{R}^{m+1}$ es óptima (paralelizabilidad)

Ingrediente 3

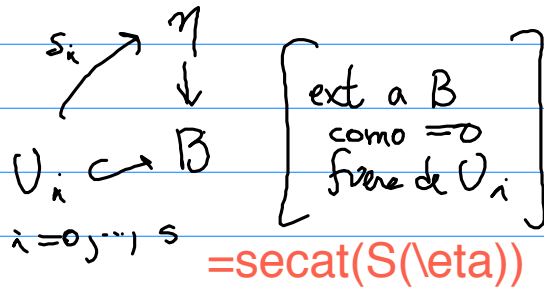
Teorema (Farber - Tabachnikov - Yuzvinsky, 2003)

$$\text{tc}(P^m) = \min \left\{ n : \exists \text{ axial } P^m \times P^m \rightarrow P^n \right\} \vee n$$

$$I. \quad TC(p^m) = \text{secat}(e_{01}) \geq \text{secat}(S(\sum_{S^m} \otimes \sum_{S^m}))$$



$$II. \quad \text{secat}(S(\eta)) \stackrel{\downarrow}{\geq} \min \{ n \mid (n+1)\eta \text{ admite sección nula cero} \}$$



III $\text{TC}(P^m) \cong \text{mcn} \{ n : \exists \text{ axial } P^m \times P^m \rightarrow P^n \}$

$$n = \text{TC}(P^m) \Rightarrow (n+1) \sum_{S^m} \otimes \sum_{S^m} = 1 \oplus \alpha$$

$$\Rightarrow \begin{array}{ccc} & S^n & \equiv S^n \\ & \downarrow & \downarrow \\ & P^n & \xrightarrow{L_{P^n}} \text{BO}(n) \\ & \downarrow & \downarrow \\ P^m \times P^m & \xrightarrow{\sum_{S^m} \otimes \sum_{S^m}} P^\infty & \xrightarrow{(n+1) \sum_{S^m}} \text{BO}(n+1) \end{array}$$

α'

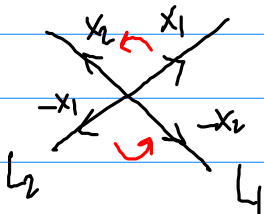
IV Una axial $P^m \times P^m \rightarrow P^n$ determina un SPM-L con $n+1$ planeadores locales.

ψ_i \mathbb{Z}_2 -equiv

$$S^m \times S^m \xrightarrow{\mathbb{Z}_2} S^m \times S^m \xrightarrow{\mathbb{Z}_2\text{-equiv}} S^h \xrightarrow{\pi_i} \mathbb{R} \quad \lambda = |j \cdots j|^h$$

$$\begin{array}{ccc} & \downarrow & \downarrow \\ & P^m \times P^m & \xrightarrow{\text{axial}} P^h \end{array}$$

$$U_i = \left\{ (L_1, L_2) \mid L_1 \perp L_2 \wedge \psi_i(x_1, x_2) \neq 0 \quad \forall x_1, x_2 \in L_1 \times L_2 \right\}$$



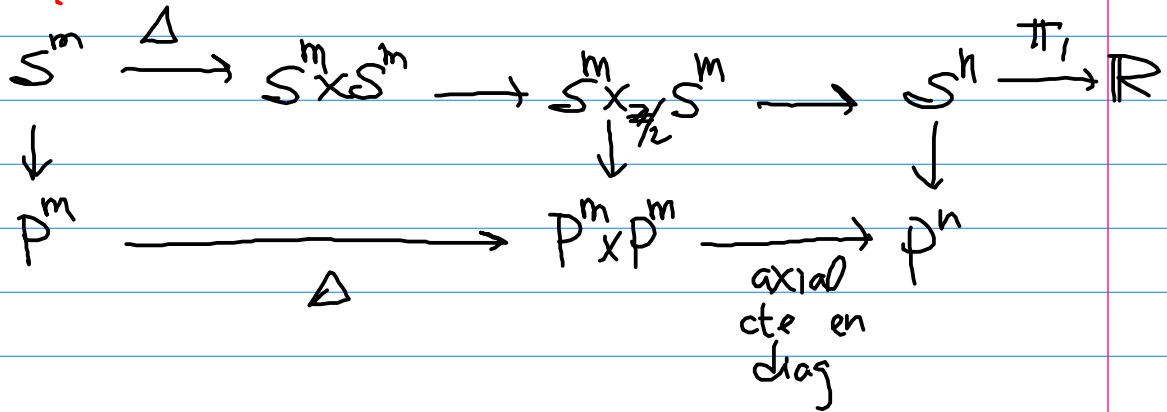
$$\psi(x_1, x_2) = \psi(-x_1, -x_2) > 0$$

Los U_1, \dots, U_{n+1} cubren a $P^m \times P^m$ - diagonal. Para incluir la diagonal en, digamos, U_i necesitamos poder asegurar que p_i sea positiva en la diagonal. Para $m=1,3,7$ esto se logra directamente con axiales que surgen de las multiplicaciones $\mathbb{R}^{m+1} \times \mathbb{R}^{m+1} \rightarrow \mathbb{R}^{m+1}$. De otro modo se debe tener $n > m$ en cualquier axial $P^m \times P^m \rightarrow P^n$ y notamos de

$$\begin{array}{ccc}
 P^m \times P^m & \xrightarrow{\text{axial}} & P^n \\
 \uparrow & & \nearrow \\
 \text{diagonal} & & \\
 (\text{confib}) & & \\
 P^m & & \text{axial}
 \end{array}$$

que el tal axial se puede deformar a uno estrictamente constante en la diagonal. Tendríamos:

\therefore cte (con valor $(1, 0, \dots, 0)$ salvo un giro)



Estrategia :

mismos métodos descritos antes

Teorema (G, 2005)

$$\left[\frac{TC(L^{2n+1}(z^e))}{z} \right] = \min_k \text{ para el cual hay } S^{2n+1} \times S^{2n+1} \rightarrow S^{2k+1}$$

que sea $\mathbb{Z}/2$ -bivariante.

Objetivo :

Construir $S^{2n+1} \times S^{2n+1} \rightarrow S^{2k+1}$ $\mathbb{Z}/2$ -bivariante
a partir de $S^{2n+1} \times S^{2n+1} \rightarrow S^{2k+1}$ $\mathbb{Z}/2$ -bivariante.

$+3$ $+$

i.e. probar $s(n, e+1) \leq s(n, e) + 1$

PARTIE 2: TC^S vs En en $\mathbb{R}P^m$

Def: $\mathbb{Z}/2 \curvearrowright X$ involution principal Γ

$$\begin{aligned} \text{nivel}(X; \Gamma) &= \min \left\{ n : \exists X \rightarrow S^n \text{ } \mathbb{Z}/2\text{-equiv} \right\} \\ &= \min \left\{ n : \begin{array}{c} X \\ \downarrow \\ X/\Gamma \end{array} \text{ se clasifica de } \begin{array}{c} S^n \\ \downarrow \\ P^n \end{array} \right\} \\ &= \text{secat}(X \rightarrow X/\Gamma) \end{aligned}$$

Schwarz
(Milnor constr)

Teorema (G-Landweber, 2009)

$$TC^S(P^m) = \text{nivel}(F(P^m, 2); \text{intercambio de ejes}) + 1$$

Relación con E_n :

$$M^m \xrightarrow{f} \mathbb{R}^n$$

\Rightarrow

$$M \times M - \Delta_M \xrightarrow{H} S^{n-1}$$
$$(x, y) \longmapsto \frac{f(x) - f(y)}{|f(x) - f(y)|}$$

$\underbrace{\hspace{15em}}_{\neq \frac{1}{2}\text{-equivariante}}$

$$\therefore E_n(M^m) \cong \text{nivel}(F(M, \mathbb{Z}), \sigma) + 1.$$

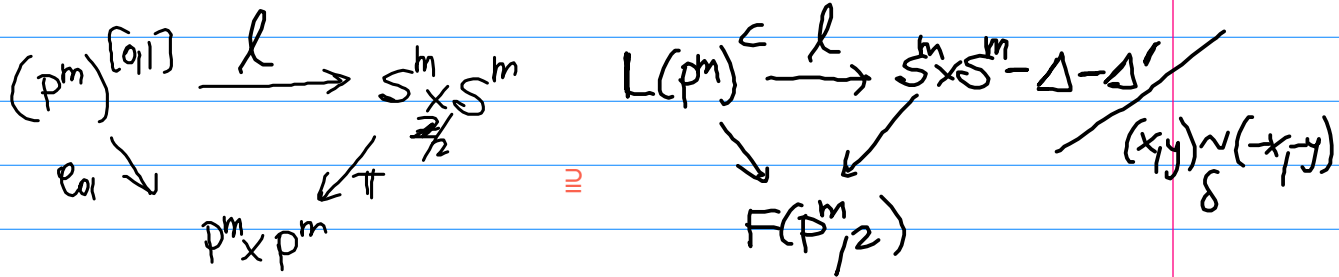
Teorema (Haefliger, 1962)

ok en P^m si $m \geq 16$

$$\text{Igualdad si } E_n(M^m) \cong \frac{3}{2}(m+1).$$

Argumento básico:

$E_0(P^m) \leftarrow F(P^m, \mathbb{Z}) \rightarrow B(P^m, \mathbb{Z})$ tienen secat igual



El segundo diagrama:

- es σ -equivariante ($\sigma =$ "switching")
- admite un morfismo σ -equivariante de regreso

Consecuentemente:

Lema

$$\text{secat}(E_{01}) = \text{secat} \left(\begin{array}{c} S^m \times S^m - \Delta - \Delta' / \delta, \sigma \\ \downarrow \\ B(P^m, 2) \end{array} \right)$$

Necesitamos pues:

Lema

$$\text{secat} \left(\begin{array}{c} S^m \times S^m - \Delta - \Delta' / \delta, \sigma \\ \downarrow \\ B(P^m, 2) \end{array} \right) = \text{secat} \left(\begin{array}{c} F(P^m, 2) \\ \downarrow \\ B(P^m, 2) \end{array} \right)$$

Dem:

Ambas son $\mathbb{Z}/2$ -coberturas principales, así que basta dar la igualdad en términos de los niveles:

$$F(P^m, 2) = S^m \times S^m - \Delta - \Delta' / \lambda, \rho \xrightarrow{\sigma} B(P^m, 2)$$



$$S^m \times S^m - \Delta - \Delta' / \delta, \sigma \xrightarrow{\lambda = \rho} B(P^m, 2)$$

$$(x, y) \xrightarrow{\phi} (v(x+y), v(x-y)) \doteq (a, b)$$

$$\lambda \cdot (x, y) = (-x, y) \rightarrow (v(y-x), -v(x+y)) = \delta \Gamma \cdot (a, b)$$

$$\rho \cdot (x, y) = (x, -y) \rightarrow (v(x-y), v(x+y)) = \sigma \cdot (a, b)$$

$$\lambda \rho \cdot (x, y) = (-x, -y) \rightarrow (-v(x+y), v(y-x)) = \delta \cdot (a, b)$$

$$\sigma \cdot (x, y) = (y, x) \rightarrow (v(x+y), -v(x-y)) = \rho \cdot (a, b)$$

} bien
definido

} \mathbb{Z}_2 -equiv

$\varepsilon_0 \geq$ en lema.

$$(x, y) \xrightarrow{\phi} (v(x+y), v(x-y)) \doteq (a, b)$$

$$\delta \cdot (x, y) = (-x, -y) \rightarrow (-v(x+y), -v(x-y)) = \lambda p \cdot (a, b)$$

$$\sigma \cdot (x, y) = (y, x) \rightarrow (v(x+y), -v(x-y)) = p \cdot (a, b)$$

$$\delta\sigma \cdot (x, y) = (y, -x) \rightarrow (-v(x+y), v(x-y)) = \lambda \cdot (a, b)$$

$$\lambda \cdot (x, y) = (-x, y) \rightarrow (-v(x-y), -v(x+y)) = \sigma(\lambda p(a, b)) \left. \vphantom{\lambda \cdot (x, y)} \right\} \frac{\lambda}{2} \text{-equiv.}$$

bien
definido

$\varepsilon_0 \leq$ en lema.

Nota Se han mencionado como únicas posibles excepciones a $TC^S(p^m) = E_n(p^m)$ los valores $m = 6, 7, 11, 12, 14, 15$

Posible estrategia (ha funcionado para $m = 3, 5$):

Se ha visto que en cualquier caso

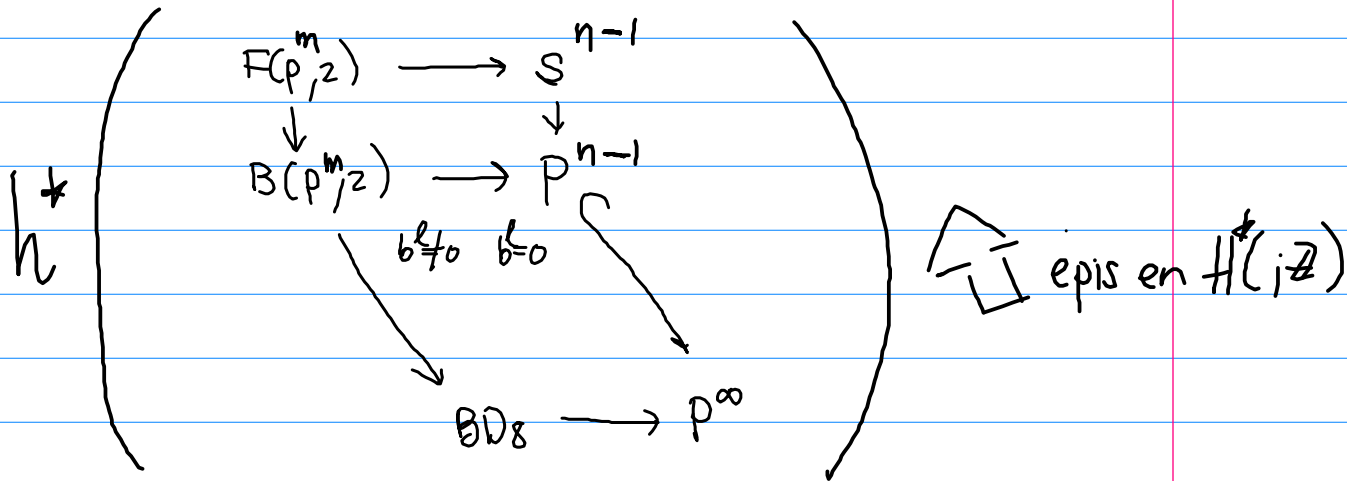
$$E_n(p^m) \geq TC^S(p^m) = 1 + \text{nivel}(F(p^m/2), \sigma)$$

así que cotas inferiores para $TC^S(p^m)$ podrían dar información nueva sobre $E_n(p^m)$.

↙ primer caso no conocido

Ejemplo: $9 \leq TC^S(p^7) \leq 10 \quad \& \quad 9 \leq E_n(p^7) \leq 12$

Método: Para descartar $TC^S(p^m) \leq \eta$
 ce nivel $(F(p, z), \sigma) < h$:



Objetivo: Entender la AHSS para $F \rightarrow B(p, z) \rightarrow BDs$

Nota: $F = V_{2, m+1} \odot D_8 = \left\langle \sigma, \lambda, \rho : \begin{array}{l} \sigma\lambda = \rho\sigma \\ \lambda^2 = \rho^2 = \sigma^2 = e \\ \lambda\rho = \rho\lambda \end{array} \right\rangle$

Teorema (Dominguez, 2012)

El elemento relevante $b \in H^2(B(P^m, \mathbb{Z}); \mathbb{Z})$ tiene

$$\min \{ l : b^l = 0 \} = \begin{cases} 2^e & \text{si } m = 2^e \\ 2^e + 1 & \text{si } 2^e < m < 2^{e+1} \end{cases}$$

Ejemplos

$m=3$: $4 \leq TC^S(P^3) \leq 5$ \nleftarrow $En(P^3) = 5$
 \uparrow se descarta pues en $B(P^3, \mathbb{Z}) \rightarrow P^3$
 $b^2 \neq 0$ $b^2 = 0$

$m=5$: $8 \leq TC^S(P^5) \leq 9$ \nleftarrow $En(P^5) = 9$
 \uparrow se descarta pues en $B(P^5, \mathbb{Z}) \rightarrow P^7$
 $b^4 \neq 0$ $b^4 = 0$

NOTAS :

- Esto mismo da $TC^S(p^6) = 9$
Pero ahora sólo se sabe $En(p^6) \in \{9, 10, 11\}$
Este es el primer caso en que no se sabe si $TC^S = En$
- El método falla para n 's mayores con $h^* = H^*(; \mathbb{Z})$ — las attron de los b 's simplemente crecieron muy poco

Proyecto: usar otras h^* 's, por ejemplo alguna versión de K -teoría.

Pregunta : ¿ Qué tiene de especial P^n para que ?
 $TC = In \quad \& \quad TC^S = En$

Ejemplo : $TC(S^m) \leq TC^S(S^m) = 2$ pero
 $In(S^m) = En(S^m) = m+1$

Respuesta parcial : Al menos no ser 1-conexas
(de otro modo $TC \leq dim \quad \& \quad TC^S \leq dim+1$)

Sin embargo hay otras familias de variedades, no 1-conexas pero cercanas a las P^n 's para las cuales NO se tiene relación directa (sección 5).